

山梨大学工学部 正常 平島健一
東京大学大学院 学生員・村松正重

1. まえがき

面外荷重を受ける平板は本来3次元体であり、面内はもとより板厚方向にも応力、変位、ひずみなどの弾性的力学量の状態は変化するものであり、それを厳密に求めるとために、3次元弹性論を適用しなければならない。しかし、その一般的な解を求めるには事実上、不可能に近く、したがって、できるだけ精度の高い近似解を求めるようすことが現在の課題である。そのための一つの方法として、弾性力学量を平板の厚さ方向へ級数展開し、そのうちの幾つかの低次項を採用することによることで、2次元化して取り扱うことが考えられる。その代表的なものとして、変位を展開したものに古典論とはじめとしてK.H. LoのHigh-Order理論があり、応力を展開したもののAmbartsumyanの理論がある。本研究では後者の立場に立つが、板厚方向の直ひずみを零としたとき、この直ひずみと板厚方向の直応力との間の構成関係を無視したAmbartsumyanの理論を補正し、構成関係式を用いて板厚方向ひずみ(第2近似値)を決定することによって、応力を級数展開した理論の進歩的理論を提示し、二、三の結果と数値例を示すこととする。

2. 構成関係式

板厚の中央面に平行なただ一つの弾性対称面がある場合の板厚方向の直ひずみ ϵ_z と直応力 σ_z の構成関係は、一般化したHookeの法則と变形して次式で与えられる。

$$\epsilon_z = A_1 \epsilon_x + A_2 \epsilon_y + A_3 \gamma_{xy} - N \sigma_z \quad (1)$$

ここで A_i, N の値は弾性定数 A_{ij} を用いて表わされるものである。

この関係より $\epsilon_z = 0$ をすればよいのであるが、一般には右四のひずみ $\epsilon_x, \epsilon_y, \gamma_{xy}$ および板厚方向直応力 σ_z の厳密解が予めである。

$\epsilon_z = 0$ は Ambartsumyan の理論から得られた結果を用いて構成関係式で、式(1)が $\epsilon_z = 0$ を求めるところにする。もちろん $\epsilon_z = 0$ の仮定から出発した他の理論は式(1)が満足されておらず、したがって、上述の方法で求めた結果は、まだ完全には式(1)を満足するものではなく、 $\epsilon_z = 0$ さらに、同様の操作を繰り返すことでより、今後精度のよい結果を求めてゆく必要がある。しかし、 $\epsilon_z = 0$ は Ambartsumyan の理論の結果を第1次近似とした場合を基準とし、第2次近似値として主に第2次近似について議論したものである。

3. 支配方程式

まず、Ambartsumyan 理論の諸過程を flow chart で図示すれば Fig. 2 のようになる。この理論過程で得られた $\epsilon_x, \epsilon_y, \gamma_{xy}$ および σ_z を式(1)に代入して ϵ_z を求める。次に、この ϵ_z から運動学的関係式：

$$\epsilon_z = \frac{\partial u_z}{\partial z} \quad (2)$$

と用いて、 $z=0$ における $u_z = w(x, y)$ の条件のもとに式(2)を積分するところのように求められる。

$$u_z = w(x, y) + U, \quad U = \int_0^z \epsilon_z dz. \quad (= すなはち、w(x, y) : 板厚中央面の面外(y)方向変位) \quad (3)$$

式(3)は Ambartsumyan による面外方向せん断応力 τ_{xz}, τ_{yz} の仮定：

$$\tau_{xz} = \frac{1}{2}(X^t - X^-) + \frac{3}{R}(X^+ + X^-) + f_1(x) \cdot \varphi(x, y), \quad \tau_{yz} = \frac{1}{2}(Y^t - Y^-) + \frac{3}{R}(Y^+ + Y^-) + f_2(x) \cdot \psi(x, y) \quad (4)$$

式(3)と同様にして理論を組み立てゆく。ただし、 X^t, Y^t は面内荷重(c.f. Fig. 1), f_1, f_2 は厚さ方向の

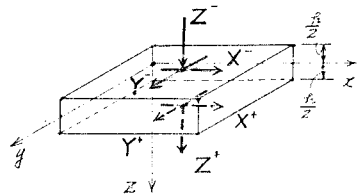


Fig. 1 平板に作用する外荷重と座標系

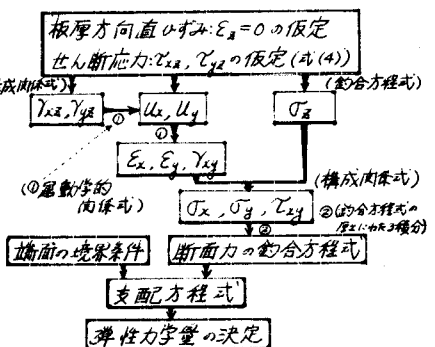


Fig. 2 Ambartsumyan理論の諸過程

応力分布形を表わす任意に定めらる3項式であるが、 $\bar{x} = \bar{y}$ は放物線分布と仮定する。

以下では誘導過程は省略し、3式が繁雑には3のと避けたために直交異方性で面内荷重 $X^t = Y^t = 0$ の場合の支配方程式を示せば次のようである。

$$C_{11} \frac{\partial^2 U}{\partial X^2} + C_{44} \frac{\partial^2 U}{\partial Y^2} + (C_{12} + C_{44}) \frac{\partial^2 V}{\partial X \partial Y} = A_1 h \frac{\partial Z_1}{\partial X} + \frac{\partial}{\partial X} (B_{11} I_1 + B_{12} I_2) + 2 B_{66} \frac{\partial I_{12}}{\partial Y} \quad (5)$$

$$C_{22} \frac{\partial^2 V}{\partial Y^2} + C_{66} \frac{\partial^2 V}{\partial X^2} + (C_{12} + C_{44}) \frac{\partial^2 U}{\partial X \partial Y} = A_2 h \frac{\partial Z_2}{\partial Y} + \frac{\partial}{\partial Y} (B_{22} I_2 + B_{12} I_1) + 2 B_{66} \frac{\partial I_{12}}{\partial X} \quad (5)$$

$$\frac{\partial U}{\partial X} + \frac{\partial V}{\partial Y} = -\frac{I_{12}}{h^2} Z_2 \quad (5)$$

$$D_{11} \frac{\partial^2 W}{\partial X^2} + (D_{11} + 2D_{66}) \frac{\partial^2 W}{\partial X \partial Y} - \frac{h^2}{10} \left\{ A_{55} (D_{11} \frac{\partial^2 Y}{\partial X^2} + D_{66} \frac{\partial^2 Y}{\partial Y^2}) + A_{44} (D_{12} + D_{66}) \frac{\partial^2 Y}{\partial X \partial Y} \right\} + I_{12} Y = -A_1 \frac{h^2}{10} \frac{\partial Z_1}{\partial X} - 2 B_{66} \frac{\partial I_{12}}{\partial Y} \quad (6)$$

$$D_{22} \frac{\partial^2 W}{\partial Y^2} + (D_{11} + 2D_{66}) \frac{\partial^2 W}{\partial X \partial Y} - \frac{h^2}{10} \left\{ A_{44} (D_{22} \frac{\partial^2 Y}{\partial Y^2} + D_{66} \frac{\partial^2 Y}{\partial X^2}) + A_{55} (D_{12} + D_{66}) \frac{\partial^2 Y}{\partial X \partial Y} \right\} + I_{12} Y = -A_2 \frac{h^2}{10} \frac{\partial Z_2}{\partial Y} - 2 B_{66} \frac{\partial I_{12}}{\partial X} \quad (6)$$

$$= 1/2, \quad i_R = \int_{-L/2}^{L/2} I_{Rk} dZ, \quad I_{12} = \int_{-L/2}^{L/2} I_{12} dZ, \quad j_R = \int_{-L/2}^{L/2} Z I_{Rk} dZ, \quad j_{12} = \int_{-L/2}^{L/2} Z I_{12} dZ, \quad (R=1, 2) \quad (7)$$

$$I_1 = \frac{\partial^2}{\partial X^2} \int_0^Z U dZ, \quad I_2 = \frac{\partial^2}{\partial Y^2} \int_0^Z U dZ, \quad I_{12} = \frac{\partial^2}{\partial X \partial Y} \int_0^Z U dZ, \quad h: \text{板厚} \quad (7)$$

$$Z_1 = \frac{L}{2} (Z^+ - Z^-), \quad Z_2 = (Z^+ + Z^-), \quad U, V: \text{中央面}(Z=0) \text{における } U_x, U_y \text{ の値} \quad (7)$$

上式中の係数 A_{ij} , B_{ij} , C_{ij} , D_{ij} は弾性定数 E_{ij} に関係する力学定数である。

Amambartsumyan 理論に対し、上式では非同次の項に差異が認められる。

4. 数値計算例

板の上表面 $Z = -\frac{1}{2} h$ に次式：

$$Z^+ = -g_0 \sin \frac{\pi X}{L}, \quad Z^- = 0 \quad (8)$$

のような正弦分布の面外荷重が作用した場合の厚さ h の等方

性無限平板の解析結果を示す。例えれば、面外変位(たわみ)

w の第2次近似の計算結果は次式のようになる。

$$w = \bar{w} \left\{ 1 + \frac{\pi^2}{40} \frac{8-3V}{1-V} \left(\frac{h}{L}\right)^2 - \frac{56V^2 + 65V^2 - 186V + 65}{22400(1-V)(1+V)} \pi^2 \left(\frac{h}{L}\right)^4 \right\} \quad (9)$$

ここで、 $\bar{w} = -\frac{g_0 L^4}{D \pi^4} \sin \frac{\pi X}{L}$ は古典論によるとたわみである。

その他の曲げ応力 σ_x やびて従来までの理論結果との比較を

Fig. 4~6 に示した。

その他の計算例ならびに詳細な考察等は学会当日に発表す

3. 参考文献:

1) S.A. Ambartsumyan: 異方弾性板の理論(袖谷訳)森北出版(1975)

2) K.H. Lo & Oller: A High-Order Theory of Plate Deformation, Part 1, J. Appl. Mech. (1977), pp. 663~668.

3) K.H. Lo & Oller: Stress Solution Determination for High-Order Plate Theory, Int. J. Solids & Struct. (1978), pp. 655~662.

4) 平野小林: 弾性平板の解釈論 始に(付録3), 三河考案, 第3回 土木学会年報(1978)pp. 5~6.

5) 日置典一郎: 構造力学II, 銀河書店(1978)

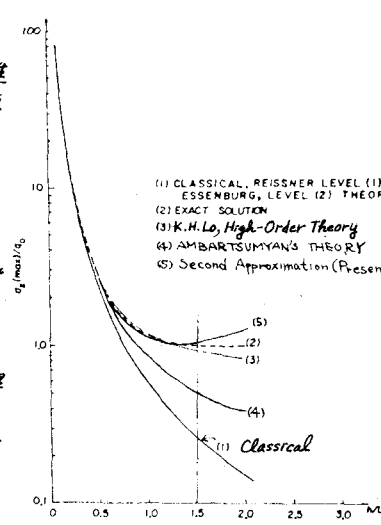


Fig. 5 最大曲げ応力 $\sigma_z(\max)$ ($\nu=0.25$)

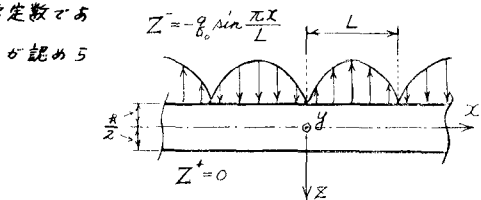


Fig. 3 無限平板に作用する正弦分布荷重

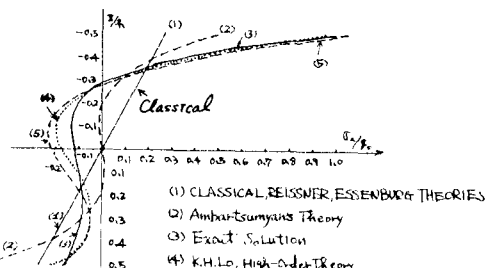


Fig. 4 断面の曲げ応力 σ_z の分布 ($\nu=0.25, h/L=1.5$)

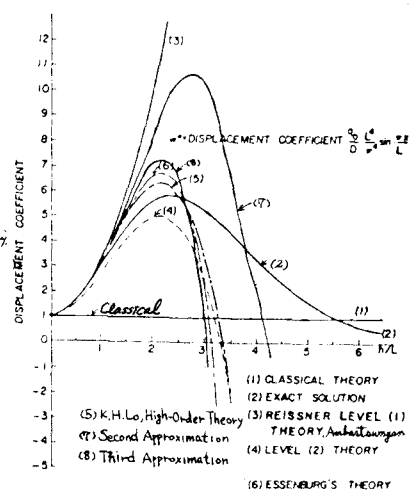


Fig. 6 板厚中央面のたわみ w ($\nu=0.25$)